

# Математические основы предсказания землетрясений

Дипломная работа  
Студента группы ДА-61  
СП ИПСА НТУУ «КПИ»  
Гомольского Е. В.

## **Задание**

- рассмотрение математических основ предсказания землетрясений
- реализация алгоритма M8
- Исследование возможности использования интеллектуального анализа данных для отладки приложений

## **Актуальность**

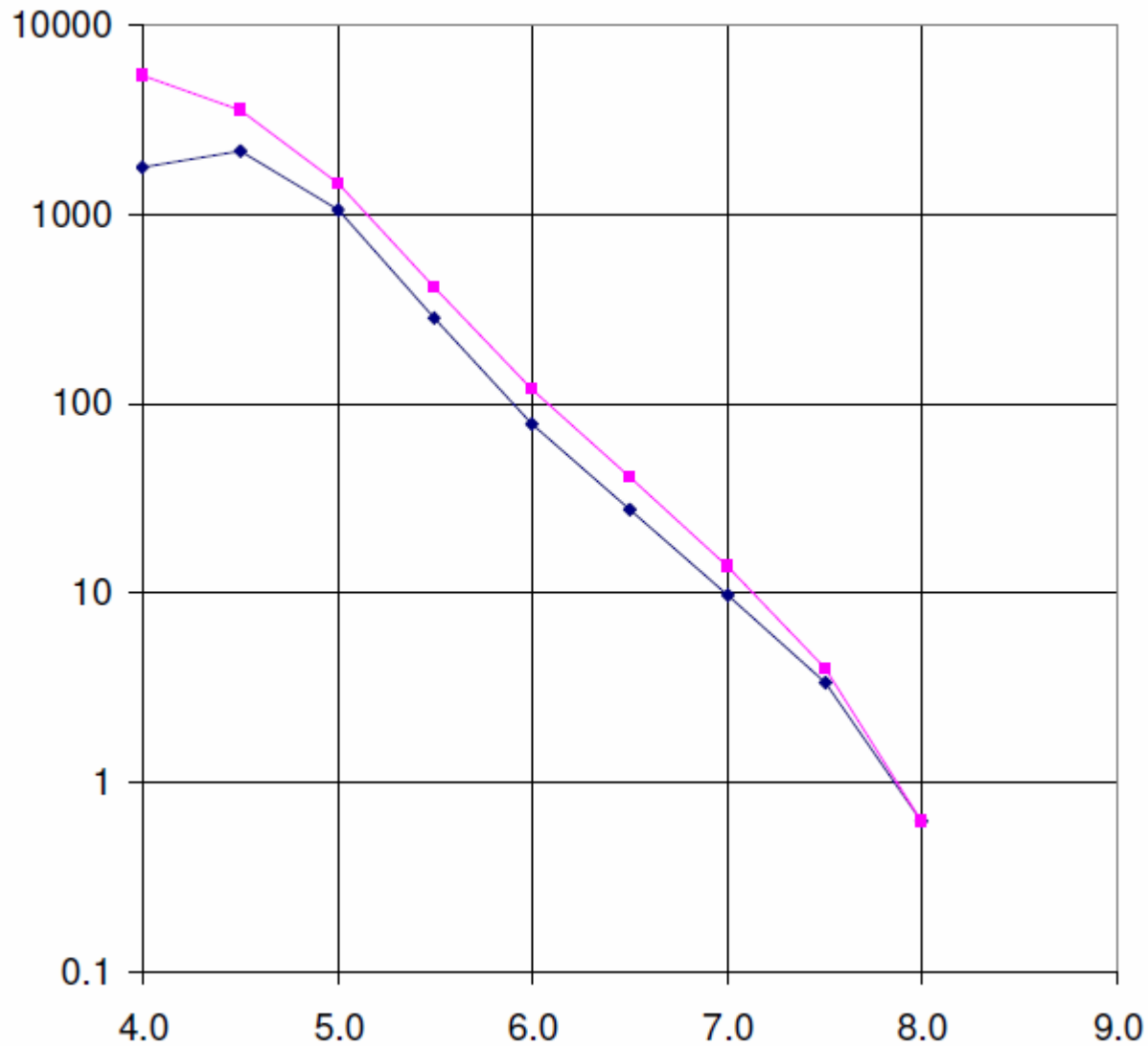
- разработки исследователей в области прогноза землетрясений
- разработки программных продуктов для поддержки процесса предсказания землетрясений

# Сейсмология

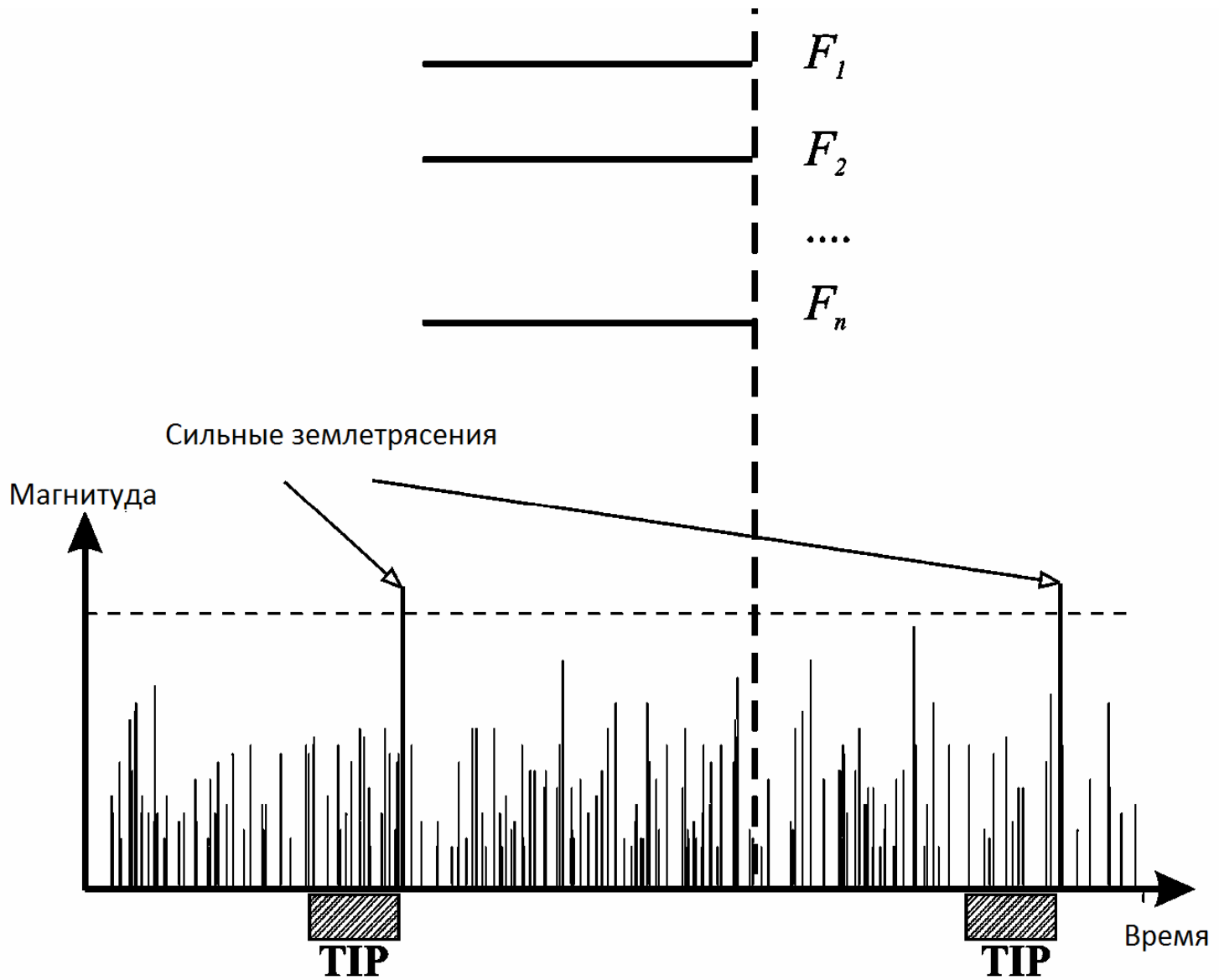
раздел геофизики, изучающий землетрясения и связанные с ними явления.

Сейсмология:

1. систематизирует и анализирует данные сейсмометрических наблюдений;
2. выясняет причины землетрясений, их связь с тектоническими процессами и возможность их предсказания;
3. решает задачи сейсмического районирования.



**Закон Гутенберга - Рихтера**

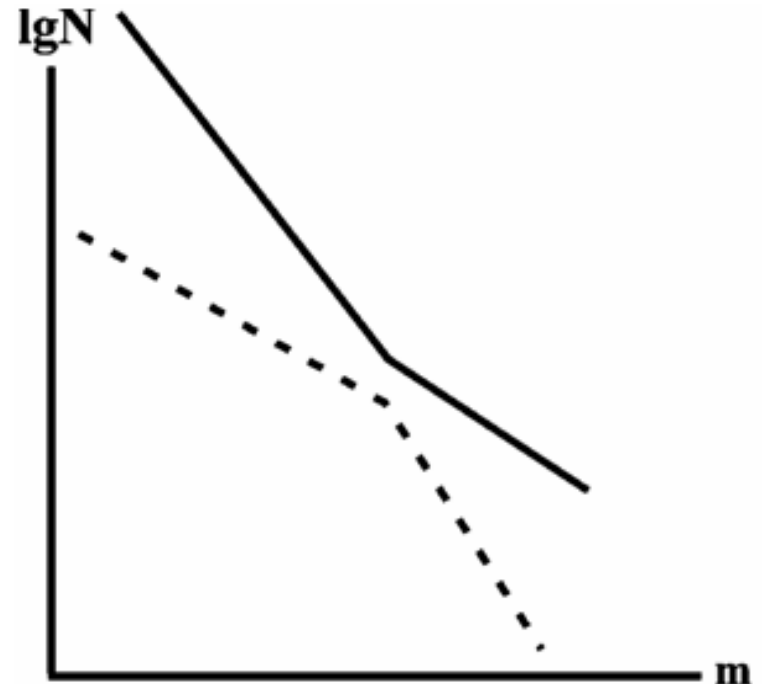


Общая схема предсказания землетрясений

# Диагностические признаки

Приближение сильного землетрясения может быть предвидено следующими явлениями, отображающими изменения в сейсмических показателях:

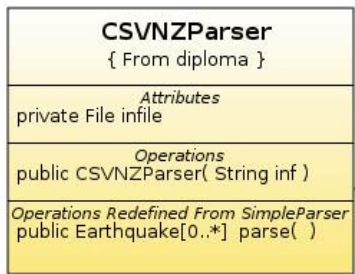
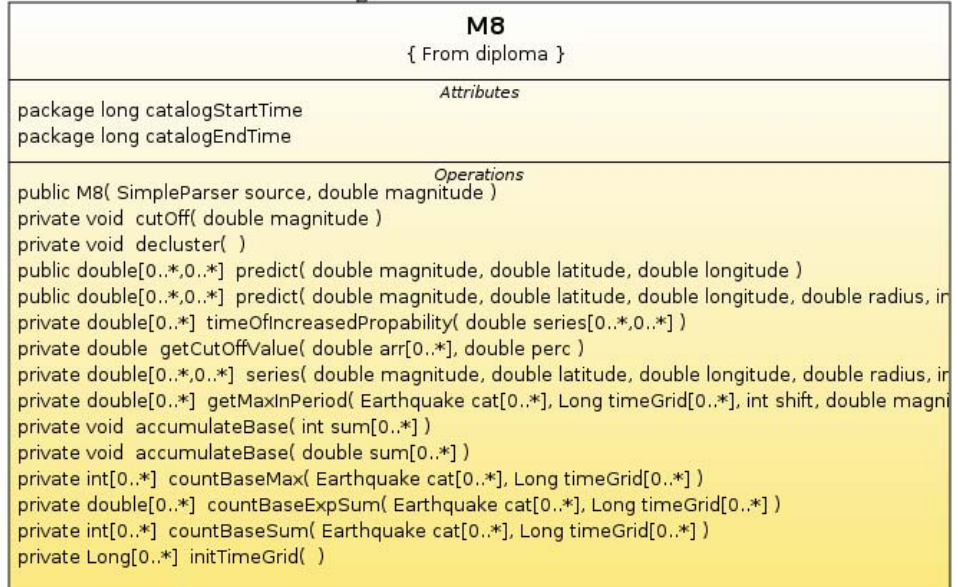
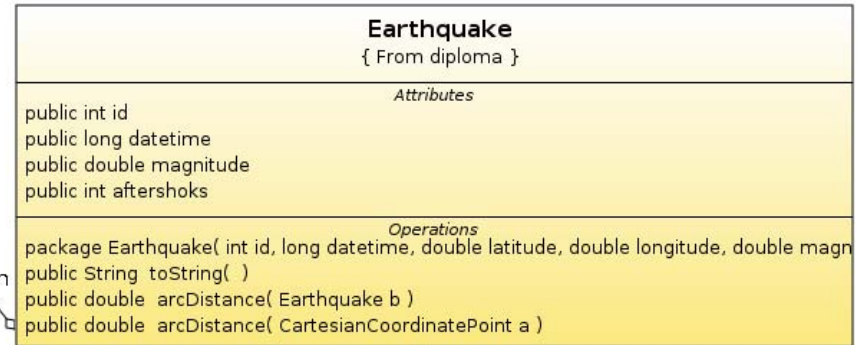
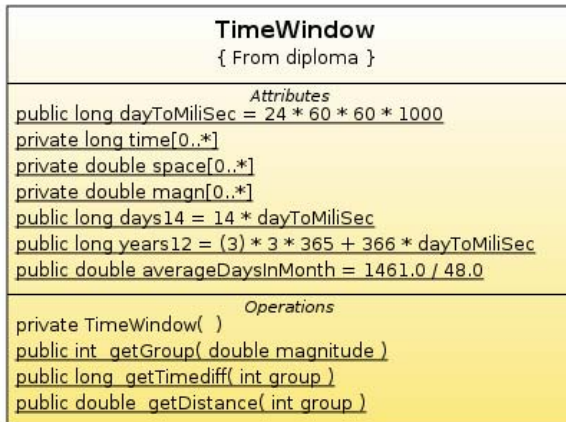
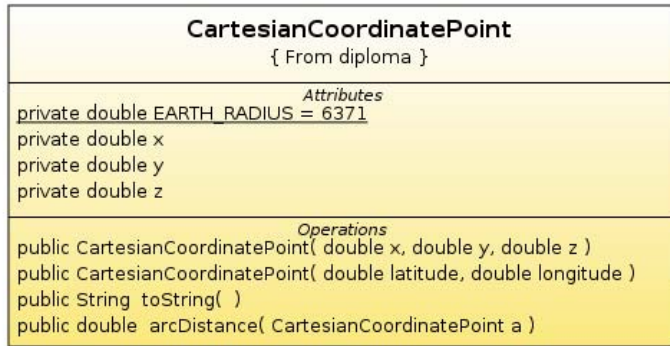
- Возрастание сейсмической активности;
- Возрастание кластеризованности в пространстве и времени;
- Возрастание корреляции между землетрясениями;
- Изменение вида зависимости магнитуды землетрясения от частоты;
- Возрастание нерегулярности в пространстве и времени, и т.д.



# Алгоритм М8

1.  $N(t)$  – количество мейншоков.
2.  $L(t)$  – отклонение  $N(t)$  от тренда.  $L(t) = N(t) - [N_{cum}(t - s)] \cdot \frac{t - t_0}{t - t_0 - s}$ , где  $N_{cum}(t)$  - количество мейншоков с магнитудой  $M \geq M_{min}$  от начала последовательности  $t_0$  до  $t$ .
3.  $Z(t)$  - концентрация мейн шоков вычисленная как отношение среднего диаметра источника  $l$  к средней длине между ними  $r$ . Грубой оценкой величин  $r$  и  $l$  могут выступать:  $r \sim N^{-1/3}$ ,  $l \sim N^{-1} \sum(t)$ , где  $\sum(t) = \sum_i 10^{d(M_i - f)}$ , и  $M_{min} \leq M_i \leq M_0 - g$ ; значение  $d$  выбирается таким, что бы каждое слагаемое было пропорционально линейным размерам очага (на практике, кубическому корню от энергии).
4.  $B(t) = \max_i \{b_i\}$  - максимальное количество афтершоков (мера распределения землетрясений); последовательность землетрясений  $\{i\}$  рассматривается в временном окне  $(t - s', t)$  и в пределах магнитуд  $(M_0 - p, M_0 - q)$ .

# Реализация



position

catalog

0..\*



# Сравнение быстродействия

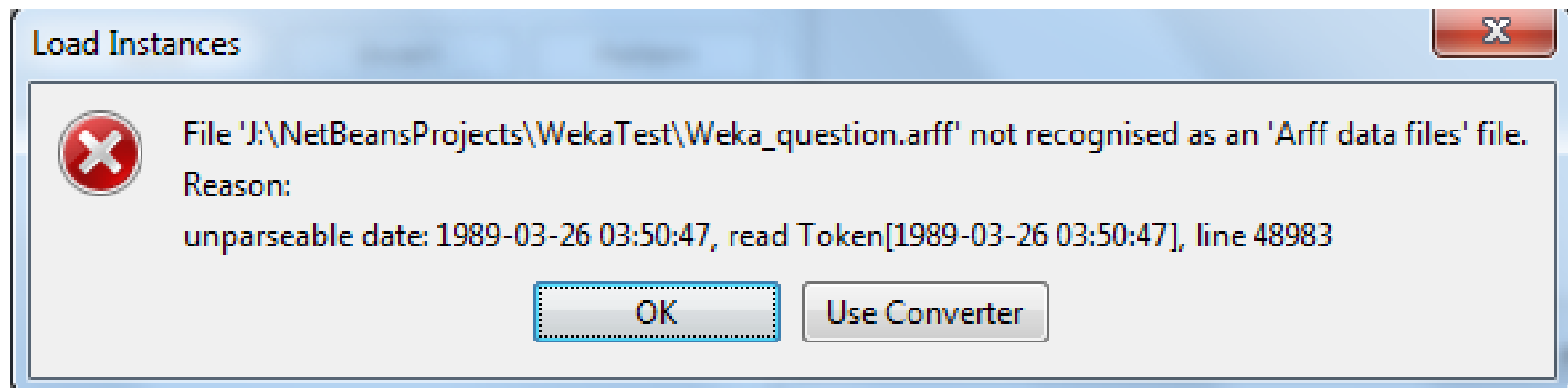
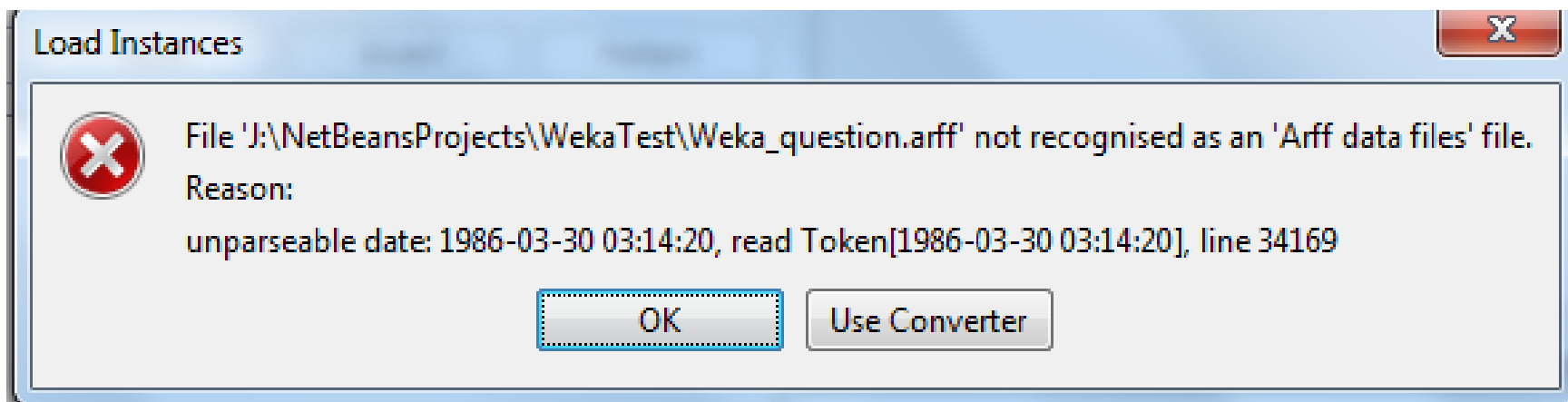
## Время выполнения операций на SSLib

Считывание	Декластеризация	Расчет рядов и ТП
1,892	0,036	0,344
1,816	0,032	0,304
1,840	0,032	0,320
1,908	0,036	0,332
1,896	0,056	0,332
1,896	0,032	0,300
2,384	0,040	0,404
1,860	0,032	0,372
1,856	0,032	0,312
2,068	0,036	0,352
1,942	0,036	0,337

## Время выполнения операций в данной реализации на Java

Считывание	Декластеризация	Расчет рядов и ТП
4,110	0,212	0,017
2,513	0,169	0,019
2,502	0,167	0,017
2,493	0,205	0,013
2,468	0,165	0,017
2,438	0,146	0,014
2,720	0,180	0,017
2,451	0,187	0,017
2,502	0,196	0,021
2,525	0,169	0,015
2,672	0,180	0,017

# Использование интеллектуального анализа данных для отладки приложений



1540,1,4,13,6,24,-41,174.5, , 1540,1,6,18,19,24,-41.5,175, , 4.5 1540,1,7,9,34,48,-40,175.5, , 1540,1,8,9,41,24,-41.7,  
1540,1,9,16,26,36,-42,178, , 1540,1,11,12,35,24,-40.2,173, , 1540,1,21,7,16,54,-39,177, , 1540,1,24,4,8,18,-39,175.5  
1540,1,24,4,1,12,-39,175.5, , 1540,1,27,4,32,42,-40,174, , 1540,1,27,7,16,54,-40,174, , 1540,2,1,18,37,54,-40,174.5,  
1540,2,5,9,15,54,-41.5,173.5, , 1540,2,7,11,12,48,-40,174.5, , 1540,2,7,19,36,48,-39.2,176.5, , 1540,2,7,20,42,12,-4  
1540,2,9,12,27,8,-41.5,172, , 1540,2,13,2,52,6,-43,173, , 3 1540,2,13,3,4,54,-43,173, , 1540,2,14,9,48,18,-40.2,175.7,  
1540,2,14,11,55,6,-40.3,175.2, , 1540,2,15,16,22,24,-40.2,174.5, , 1540,2,19,23,29,36,-42,176, , 1540,2,23,3,32,30,-  
1540,2,24,3,30, , -43.5,171.5, , 1540,2,26,6,16,36,-39.5,176.5, , 6 1540,3,14,21,18,42,-40,174.5, , 1540,3,17,11,36,30,  
1540,3,17,17,6,54,-37.7,178.5, , 1540,3,19,14,53,30,-39,176.5, , 5 1540,3,19,14,58,48,-39,176.5, , 1540,3,19,15,31,30,  
1540,3,19,17,6,36,-39.2,177, , 4.5 1540,3,20,7,43,30,-38,177, , 1540,3,23,5,22,36,-41,174.5, , 1540,3,27,2,40,8,-39.8,  
1540,3,28,16,3,8,-38,177, , 4 1540,3,28,16,4,42,-38,177, , 1540,3,28,16,9,18,-38,177, , 1540,3,28,20,10,30,-38,177, , 4  
,-38,177, , 3.5 1540,3,28,22,44,42,-38,177, , 3 1540,3,28,22,46, , -38,177, , 3.5 1540,3,29,18,36, , -38,177,100, 1540,4,2,  
 , 1540,4,2,18,8,12,-46.5,169, , 1540,4,3,2,53,6,-38,177,100, 1540,4,12,22,11,54,-43.5,173, , 1540,4,17,19,44,24,-40  
1540,4,17,19,45,24,-40,175, , 3 1540,4,19,6,41,30,-40.1,176.2, , 4.5 1540,5,1,11,17,30,-41,174, , 1540,5,12,12,40, , -38,  
1540,5,12,13,5, , -38,176, , 1540,5,12,13,30, , -38,176, , 1540,5,12,13,40, , -38,176, , 1540,5,12,14,20, , -38,176,  
 , -46,168, , 1540,5,28,21,38,42,-39.5,177, , 1540,6,2,6,20, , -39,177, , 1540,6,2,19,17,30,-37,175,200, 1540,6,3,8,19  
1540,6,4,9,1,36,-39,175.5, , 1540,6,4,12,5, , -39,175.5, , 1540,6,4,12,7, , -39,175.5, , 1540,6,12,8,42,8,-39.5,175.3,  
1540,6,15,1,58,30,-37,175,200, 1540,6,16,11,15,54,-40.2,172.8,200, 1540,6,19,5,15,45,-40,174, , 1540,6,19,20,23,8,-3  
1540,1,4,13,6,24,-41,174.5, , 1540,1,6,18,19,24,-41.5,175, , 4.5 1540,1,7,9,34,48,-40,175.5, , 1540,1,8,9,41,24,-41.7,  
1540,1,9,16,26,36,-42,178, , 1540,1,11,12,35,24,-40.2,173, , 1540,1,21,7,16,54,-39,177, , 1540,1,24,4,8,18,-39,175.5  
1540,1,24,4,1,12,-39,175.5, , 1540,1,27,4,32,42,-40,174, , 1540,1,27,7,16,54,-40,174, , 1540,2,1,18,37,54,-40,174.5,  
1540,2,5,9,15,54,-41.5,173.5, , 1540,2,7,11,12,48,-40,174.5, , 1540,2,7,19,36,48,-39.2,176.5, , 1540,2,7,20,42,12,-4  
1540,2,9,12,27,8,-41.5,172, , 1540,2,13,2,52,6,-43,173, , 3 1540,2,13,3,4,54,-43,173, , 1540,2,14,9,48,18,-40.2,175.7,  
1540,2,14,11,55,6,-40.3,175.2, , 1540,2,15,16,22,24,-40.2,174.5, , 1540,2,19,23,29,36,-42,176, , 1540,2,23,3,32,30,-  
1540,2,24,3,30, , -43.5,171.5, , 1540,2,26,6,16,36,-39.5,176.5, , 6 1540,3,14,21,18,42,-40,174.5, , 1540,3,17,11,36,30,  
1540,3,17,17,6,54,-37.7,178.5, , 1540,3,19,14,53,30,-39,176.5, , 5 1540,3,19,14,58,48,-39,176.5, , 1540,3,19,15,31,30,  
1540,3,19,17,6,36,-39.2,177, , 4.5 1540,3,20,7,43,30,-38,177, , 1540,3,23,5,22,36,-41,174.5, , 1540,3,27,2,40,8,-39.8,  
1540,3,28,16,3,8,-38,177, , 4 1540,3,28,16,4,42,-38,177, , 1540,3,28,16,9,18,-38,177, , 1540,3,28,20,10,30,-38,177, , 4  
,-38,177, , 3.5 1540,3,28,22,44,42,-38,177, , 3 1540,3,28,22,46, , -38,177, , 3.5 1540,3,29,18,36, , -38,177,100, 1540,4,2,  
 , 1540,4,2,18,8,12,-46.5,169, , 1540,4,3,2,53,6,-38,177,100, 1540,4,12,22,11,54,-43.5,173, , 1540,4,17,19,44,24,-40  
1540,4,17,19,45,24,-40,175, , 3 1540,4,19,6,41,30,-40.1,176.2, , 4.5 1540,5,1,11,17,30,-41,174, , 1540,5,12,12,40, , -38,  
1540,5,12,13,5, , -38,176, , 1540,5,12,13,30, , -38,176, , 1540,5,12,13,40, , -38,176, , 1540,5,12,14,20, , -38,176,  
 , -46,168, , 1540,5,28,21,38,42,-39.5,177, , 1540,6,2,6,20, , -39,177, , 1540,6,2,19,17,30,-37,175,200, 1540,6,3,8,19  
1540,6,4,9,1,36,-39,175.5, , 1540,6,4,12,5, , -39,175.5, , 1540,6,4,12,7, , -39,175.5, , 1540,6,12,8,42,8,-39.5,175.3,  
1540,6,15,1,58,30,-37,175,200, 1540,6,16,11,15,54,-40.2,172.8,200, 1540,6,19,5,15,45,-40,174, , 1540,6,19,20,23,8,-3  
1540,6,24,7,41,24,-41,174, , 1540,6,25,21,4,48,-40,178.3, , 1540,6,30,6,21,36,-38.5,179, , 1540,6,30,13,5,42,-36,178  
1540,7,2,11,23, , -37.8,176.3, , 1540,7,2,13,14, , -41,174, , 1540,7,3,18,15,30,-37,179,100, 1540,7,6,8,35,6,-38,177,  
1540,7,6,16,56,48,-39.5,177.2, , 1540,7,8,8,5,12,-39.5,177.7, , 1540,7,8,19,51,48,-40.5,174.5, , 1540,7,9,14,47,48,-  
1540,7,9,17,58,6,-38,177, , 4 1540,7,10,8,15,8,-41,175, , 1540,7,13,17,9,54,-41.5,172.8, , 1540,7,14,8,53,6,-41,174.5,  
1540,7,17,22,1,30,-42,178.5, , 1540,7,19,20,55,12,-41.5,173.2, , 1540,7,22,5,42, , -40,176, , 1540,7,22,13,31,30,-40.  
1540,7,31,9,41,30,-41,175.5, , 1540,7,31,22,32,6,-41.8,172.5, , 4 1540,8,2,4,58,48,-38.5,178.3,70,5 1540,8,2,5,7,24,-39  
1540,8,2,13,15,8,-39,174, , 1540,8,2,13,34, , -39,174, , 1540,8,4,11,5,8,-42.5,174, , 1540,8,7,13,6,54,-40,173, ,  
1540,8,10,15,14,12,-38.5,178, , 1540,8,17,13,58,12,-38.7,177, , 1540,8,19,14,23,6,-40.2,173.8, , 1540,8,19,18,21,18,  
1540,8,20,10,7,42,-40.5,172.7, , 1540,8,20,10,48,12,-41,175, , 1540,8,20,10,50,8,-38.5,176.2,70, 1540,8,22,21,19,36,  
1540,8,23,23,8,18,-40,176.5, , 1540,8,24,17,38,18,-38.5,178, , 1540,9,1,21,1,6,-42,174, , 3.7 1540,9,5,8,53,1,-38.7,17  
1540,9,5,10,57,44,-39,175.5, , 3.8 1540,9,6,23,36,45,-40.5,174.5, , 4 1540,9,13,17,26,43,-39,175.5,200,3.9 1540,9,15,4,23

# Выводы

К основным недостаткам алгоритма M8 можно отнести очень большое количество варьируемых параметров, для которых хотя и существуют рекомендованные значения, но каждый из них должен выбираться исходя из специфики исследуемой области

Реализация алгоритма на языке Java имеет следующие перевесы над зарубежной реализацией в библиотеке SSLib:

1. Кросс платформенность;
2. Скорость выполнения функции предсказания;

Интеллектуальный анализ данных можно использовать для отладки приложений